

Linzer biol. Beitr.	54/2	577-599	Februar 2023
---------------------	------	---------	--------------

Zur Verbreitung und Bestimmung von *Lasioglossum tarsatum* (SCHENCK, 1868) in Österreich sowie Beschreibung des Männchens von *L. ashabadiense* (BLÜTHGEN, 1923)

Esther OCKERMÜLLER & Andreas W. EBMER

A b s t r a c t : On the distribution and identification of *Lasioglossum tarsatum* (SCHENCK, 1869) in Austria, and discription of the male of *L. ashabadiense* (BLÜTHGEN, 1923). *Lasioglossum (Evylaeus) tarsatum* (SCHENCK, 1868) is a rare eurasian steppe wild bee species, only known from a few localities in Austria. In the year 2020, it was newly recorded from the federal state of Vienna. Here, we revise all known records from Austria and summarize its distribution. Since the identification of *L. tarsatum* by morphological characters can be challenging, we present new characters in order to differentiate *L. tarsatum* from closely related species of the *lucidulum-tarsatum* complex in Middle Europe, particularly from *L. semilucens* (ALFKEN, 1914). Further, the male of *L. ashabadiense* (BLÜTHGEN, 1923) is described.

K e y w o r d s : *Lasioglossum tarsatum*, *Lasioglossum ashabadiense*, description, distribution, identification

Einleitung

Die Untergattung *Evylaeus* innerhalb der Gattung *Lasioglossum* umfasst in Mitteleuropa 74 Arten. Bei manchen Artengruppen bzw. Artenkomplexen der *carinalless-Evylaeus* gestaltet sich die Determination manchmal als schwierig oder ist der Artstatus einzelner Taxa noch nicht restlich geklärt, wie bei der *sexstrigatum*-Gruppe (SAKAGAMI & EBMER 1996). Ein Beispiel für die schwierige Bestimbarkeit ist der *lucidulum-tarsatum*-Komplex auch in Mitteleuropa, welcher nach EBMER (2002: 876-878) die Arten *L. lucidulum* (SCHENCK, 1861), *L. intermedium* (SCHENCK, 1868), *L. minutissimum* (KIRBY, 1802), *L. tarsatum* (SCHENCK, 1868) und *L. semilucens* (ALFKEN, 1914) umfasst. Allen fünf Arten ist gemein, dass sie vermutlich solitär leben und polylektisch sind (SCHEUCHL & WILLNER 2016). Während es sich bei *L. lucidulum* und *L. semilucens* um eurosibirische Faunenelemente handelt, sind *L. intermedium* und *L. minutissimum* westpaläarktisch verbreitet. *L. tarsatum* gilt als sehr seltene und nur lokal auf Sandböden auftretende eurasische Steppenart.

Während die Weibchen von *L. tarsatum* mit den Bestimmungstabellen von EBMER (1971: Tabelle 3) gut kenntlich sind, verursacht die Determination der Männchen – insbesondere die Unterscheidung zu *L. semilucens* – Probleme (EBMER 1971: Tabelle E). Auch AMIET (2001) merkt an, dass die Männchen nicht immer von nah verwandten Arten aus dem *lucidulum-tarsatum*-Komplex unterschieden werden können. Nach Blüthgen in SCHMIEDEKNECHT (1930: 745) sind die Weibchen von *L. tarsatum* insbesondere durch die

sehr fein und dicht punktierten vorderen Mesopleuren sowie die stark glänzenden hinteren Mesopleuren charakterisiert. Adolf Schenck erwähnt zudem in seiner Erstbeschreibung (SCHENCK 1868), dass die Tarsen oftmals braunrot gefärbt sind. Das Propodeum ist im Vergleich zu *L. semilucens* meist kürzer, aber die Variationsbreiten überschneiden sich.

Für die vorliegende Publikation wurden alle bisher bekannten Belege von *L. tarsatum* aus Österreich überprüft. Die Funddaten werden zusammenfassend für die einzelnen Bundesländer aufgelistet. Relevante, sowie neue Unterscheidungsmerkmale aller Arten aus dem *lucidulum-tarsatum*-Komplex Mitteleuropas werden in tabellarischer Form wiedergegeben und mit Schichtfotos und Zeichnungen illustriert. Weiters wird das Männchen von *L. ashabadiense* (BLÜTHGEN, 1923) – eine Art, welche im männlichen Genital ähnlich zu *L. tarsatum* und *L. semilucens* ist – nach Belegen aus Turkmenistan und Kirgistan beschrieben. Über weitere Teilgruppen des Artenkomplexes in der Ost- und Westpaläarktis berichten SAKAGAMI et al. (1982), SAKAGAMI & TADAUCHI (1995) und EBMER (2002).

Material und Methodik

Für die vorliegende Studie wurden – mit Ausnahme eines unauffindbaren Exemplars – alle uns bisher bekannten Belege aus den folgenden Sammlungen untersucht:

coll. OLM.....	Sammlung Biologiezentrum Linz
coll. OLM (ex. coll. Warncke)	Ehemalige Sammlung Klaus Warncke (Biologiezentrum Linz)
coll. TLMF	Sammlung Tiroler Landesmuseen, Ferdinandeum
coll. AE	Sammlung Andreas W. Ebmer
coll. TK	Sammlung Timotheus Kopf
coll. KM	Sammlung Karl Mazzucco
coll. EO	Sammlung Esther Ockermüller
coll. KS	Sammlung Karl-Heinz Schwammerger

Die Schichtfotos wurden mit einer Nikon AZ100M Kamera angefertigt und mit Hilfe der Software NIS-Elements Microscope Imaging verarbeitet. Alle Abmessungen wurden mit einem Leica MZ125 Mikrometer vorgenommen.

Ergebnisse und Diskussion

Über die Verbreitung von *Lasioglossum tarsatum* (SCHENCK, 1869)

Das Verbreitungsgebiet der Dünen-Schmalbiene erstreckt sich im Bereich der alluvialen Sandgebiete von der Nordseeküste Belgiens, der Niederlande, Nordwest-Deutschlands und Dänemarks (det. E. Lyng, P. Blüthgen, u. a.) nach Osten. Nördlich sind Funde aus Schweden von der Provinz Skåne (Lund, Revingehe, Vomb, det. A.W. Ebmer) und von der Insel Öland (ohne Ortsangabe, det. B. Svensson) sowie aus dem Südosten Finnlands (Flora- und Faunenprovinz Isthmus Karelia: Terijoki, Rautu und Metsäpirtti, je ein ♀, det. R. Elfving) bekannt. Östlich gibt es nur sehr lokale Nachweise aus der Ukraine (Kijiv, Insel im Dnipro/Dnjep, det. A.W. Ebmer) und aus Russland (Umgebung Moskau, det. A. Pauly; Volgograd, det. Y. Astafurova). Südwärts kommt die Art vom östlichen Frankreich (Elsass, det. A. Pauly), über Mitteleuropa, die Schweiz (südlichste Funde im Tessin, det.

F. Amiet), Südtirol (Vinschgau, det. A.W. Ebmer) und Makedonien (Skopje, det. A.W. Ebmer) vor. Isolierte Funde kennt man zudem aus Afghanistan (Kandahar, det. A.W. Ebmer) und Kazachstan (River Ili, Aidarli, det. A.W. Ebmer). Die Angabe "Piemont" (PAGLIANO 1988) beruht auf einem missverstandenen Zitat, die Angabe "Italien, Region Latium" (SCHEUCHL & WILLNER 2016) halten wir für nicht plausibel.

In Österreich war *L. tarsatum* bisher aus den Bundesländern Niederösterreich, dem Burgenland, Kärnten und Vorarlberg belegt (GUSENLEITNER et al. 2012), wobei alle Kärntner Funde südlich der Alpen überprüfungsbedürftig waren (Ebmer, unpubl. Manuskript) und im Zuge der vorliegenden Publikation untersucht wurden. Erstmals für Wien konnte nun die Dünen-Schmalbiene im Jahr 2020 nachgewiesen werden. Ein Weibchen wurde Anfang Juli auf einem Halbtrockenrasen in der Oberen Lobau gefunden. Der vermutliche Brutparasitoid *Sphecodes longulus* HAGENS, 1882, die Längliche Blutbiene, wurde ebenfalls in der unmittelbaren Umgebung festgestellt. Die Dünen-Schmalbiene gilt als streng psammophil, besiedelt jedoch auch Standorte mit einem gewissen Maß an hygroskopischer Feuchtigkeit wie beispielsweise Küstendünen oder Gebiete mit Schwemmsand-Ablagerungen. Obwohl bislang noch keine Nester gefunden wurden, nistet sie wahrscheinlich in diesen sandigen Böden. Ansonsten ist nur wenig über die Lebensraumansprüche dieser Art bekannt. Sie ist vermutlich solitär lebend und polylektisch mit Bevorzugung gelber Asteraceae (an der Gail in Kärnten). Die Flugzeit erstreckt sich von April bis August; die Männchen erscheinen ab Juni (SCHEUCHL & WILLNER 2016).

Untersuchte Exemplare

Publikationen, in denen die jeweiligen Funde erwähnt werden, sind nach den Funddaten in Klammern wiedergegeben. Zusatzinformationen, welche zum besseren Verständnis dienen, jedoch nicht am Original-Etikett vermerkt sind, stehen in eckigen Klammern. Bis auf einen Beleg (Waidisch-Gries, 13.5.1964) wurden alle genannten Belege vom Zweitautor überprüft.

W i e n : 22. Bez., Lobau, Halbtrockenrasen, N 48°11'53", E 16°31'22", 155 m, 9.7.2020, 1♀, leg. & coll. E. Ockermüller, det. A.W. Ebmer. – **Neufund für Wien**

N i e d e r ö s t e r r e i c h : [Bez. Scheibbs S Purgstall], Zehnbach, Sandbruch, 17.5.1980, 1♀, leg. F. Ressl, det. K. Warncke, coll. OLM (ex. coll. Warncke); Bez. Gänserndorf, Drösing an der March, Sandberge, 21.8.1996, 1♀, leg., det. & coll. K. Mazzucco, vid. A.W. Ebmer (WIESBAUER & MAZZUCCO 1997, SCHWARZ & GUSENLEITNER 1999, WIESBAUER & ZETTEL 2011, ZETTEL et al. 2015).

B u r g e n l a n d : Illmitz, 18.5.1979, 1♀, leg. J. Gusenleitner, det. A.W. Ebmer, coll. OLM (EBMER 1988, SCHWARZ & GUSENLEITNER 1999); 1,5 km NE Reinersdorf (E Güssing), 30.4.1991, 1♀, leg., det. & coll. A.W. Ebmer.

K ä r n t e n : Waidisch-Gries, 13.5.1964, 1♀, leg. E. Priesner, det. K. Warncke, coll. unbekannt (WARNCKE 1981, SCHWARZ & GUSENLEITNER 1999); Waidisch-Gries, "Griesau [auf] Biscutella" 14.5.1964, 1♀, leg. E. Priesner, det. K. Warncke, vid. A.W. Ebmer, coll. OLM (ex. coll. Warncke) (WARNCKE 1981, SCHWARZ & GUSENLEITNER 1999); Annabrücke, "Drau-Auen Sand", 8.8.1964, 2♂♂, leg. E. Priesner, det. K. Warncke (als *Halictus tarsatus*), vid. A.W. Ebmer, coll. OLM (WARNCKE 1981, SCHWARZ & GUSENLEITNER 1999); Annabrücke, "Drau-Auen Sand", 8.8.1964, 1♀, leg. E. Priesner, det. K. Warncke, vid. Ebmer, coll. OLM (ex. coll. Warncke) (WARNCKE 1981); Annabrücke, "Drau-Auen Sand", 8.8.1964, 1♀, leg. E. Priesner, det. K. Warncke, vid. A.W. Ebmer, coll. TLM (WARNCKE 1981); Annabrücke, "Drau-Auen Sand", 8.9.1964, 1♂, leg. E. Priesner, det. K. Warncke, vid. A.W. Ebmer, coll. OLM (ex. coll. Warncke); Maria Rain [Sattnitz], 15.6.1950,

1♀, leg. E. Priesner, det. K. Warncke, vid. A.W. Ebmer, coll. TLM (WARNCKE 1981, SCHWARZ & GUSENLEITNER 1999); Maria Rain [Sattnitz], "Drau-Auen, an Salix", 25.4.1962, 2♀♀, leg. E. Priesner, det. K. Warncke, vid. A.W. Ebmer, coll. TLM (WARNCKE 1981, SCHWARZ & GUSENLEITNER 1999); Maria Rain, "Drau-Ufer Sand", 19.8.1964, 2♀♀ (davon 1♀ "auf *Lycopus*"), leg. E. Priesner, det. K. Warncke, vid. A.W. Ebmer, coll. OLM (ex. coll. Warncke) (WARNCKE 1981, SCHWARZ & GUSENLEITNER 1999); Unterferlach, 25.7.1980, 1♂, leg. K.H. Schwammerger, det. & coll. A.W. Ebmer (EBMER 1988, SCHWARZ & GUSENLEITNER 1999); Unterferlach, 23.8.1982, 1♂, leg. & coll. Schwammerger, det. A.W. Ebmer (EBMER 1988, SCHWARZ & GUSENLEITNER 1999); Oberschütt, linkes Gail-Ufer, 510 m, Sandböden, N 46,34, E 13,45, 17.7.2000, 1♂, leg., det. & coll. A.W. Ebmer; Oberschütt, linkes Gail-Ufer, 510 m, Sandböden, N 46,34, E 13,45, 19.7.2002, 3♀♀, leg., det. & coll. A.W. Ebmer; Lesachtal, Schotterbänke bei Nischlitz, 5.8.1992, 1♂, leg. J. Neumayer, det. & coll. A.W. Ebmer.

Vorarlberg: Fussach, Rheindamm, 19.4.1997, 2♀♀, leg., det. & coll. T. Kopf, vid. A.W. Ebmer; Fussach, Rheindamm, 9.6.1998, 1♀ 3♂♂, leg., det. & coll. T. Kopf, vid. A.W. Ebmer (1♂ coll. A.W. Ebmer); Fussach, Rheindamm, 26.7.1998, 4♀♀, leg., det. & coll. T. Kopf, vid. A.W. Ebmer (1♂ coll. A.W. Ebmer); Hard Rheindamm, 7.9.1998, 1♂, leg., det. & coll. T. Kopf, vid. A.W. Ebmer (alle publiziert in KOPF & SCHIESTL 2000 ohne genauere Fundortangaben).

Fehldeutungen: Oberösterreich, St. Georgen/Gusen, 2.9.1961, 2♂♂, leg. J. Gusenleitner, rev. [aberrante Form von] *Lasioglossum sexstrigatum* (publiziert als *L. tarsatum* in EBMER 1971, revidiert in EBMER 1988); Bisamberg N Wien, det. Roller, rev. *L. pygmaeum* (publiziert als *L. tarsatum* in ROLLER 1936, revidiert in SCHWARZ & GUSENLEITNER 1999, nachzulesen in ZETTEL et al. 2015).

Bestimmungstabelle zur Unterscheidung von *L. tarsatum* zu nah verwandten Arten

Die Unterscheidung zu den Arten *L. lucidulum* und *L. minutissimum*, die v. a. im weiblichen Geschlecht durch einen schlankeren Thorax charakterisiert sind (Abb. 2c, 2d, 6c, 6d), sowie zu *L. intermedium*, welche eine sehr kurze und anliegende weiße Behaarung am Stutz aufweist (Abb. 3e, 7e), sollten kein Problem darstellen. In der Tabelle werden die Arten jedoch der Vollständigkeit halber ebenfalls angeführt. Die charakteristischsten Merkmale, auf die bei der Determination speziell zu achten ist, sind fett hervorgehoben.

Weibchen	<i>tarsatum</i> (SCHENCK, 1868)	<i>senilucens</i> (ALFKEN, 1914)	<i>lucidulum</i> (SCHENCK, 1861)	<i>minutissimum</i> (KIRBY, 1802)	<i>intermedium</i> (SCHENCK, 1868)
Gesicht (von vorne gesehen)	kürzer als breit; queroval wirkend ($l:b=1,43; 1,49;$ $q=0,96^1)$ (Abb. 1a)	kurz queroval ($l:b=1,25; 1,43; q=0,87$) (Abb. 1b)	wenig kürzer als breit ($l:b=1,15; 1,18; q=0,97$), im visuellen Eindruck (Augeninnenhäder) aber schwach länglich erscheinend (Abb. 1e)	etwas länger als breit ($l:b=1,31; 1,26; q=1,04$) (Abb. 1d)	wenig kürzer als breit ($l:b=1,62; 1,63; q=0,99$), im visuellen Eindruck (Augeninnenhäder) aber schwach länglich erscheinend (Abb. 1e)
Stirn	ein wenig zerstreuter punktiert ($12\text{-}15\mu\text{m}/0,1\text{-}0,3$); Zwischenräume glatt	dicht punktiert ($10\text{-}15\mu\text{m}/0,1$), Zwischenräume runzlig dicht, leicht chagriniert ; leicht matt wirkend	runzelartig dicht punktiert ($10\text{-}15\mu\text{m}/0,1$); Zwischenräume dicht chagriniert; matt	ungemein dicht ($\geq 10\mu\text{m}$), polygonartig punktiert; Zwischenräume dicht chagriniert; tief matt	runzelartig dicht punktiert ($\leq 1,5\mu\text{m}/0,1$); Zwischenräume chagriniert; matt
Scheitel²	deutlich zerstreut punktiert ($5\text{-}10\mu\text{m}/3,0\text{-}5,0$), dazwischen zerstreut punktiert; Zwischenräume stark glänzend	deutlich dicht punktiert ($10\text{-}15\mu\text{m}/0,3\text{-}2,0$); Zwischenräume glatt	zerstreut punktiert ($8\text{-}10\mu\text{m}/1,0\text{-}6,0$; sehr unregelmäßig); Zwischenräume stark glänzend	dicht punktiert ($10\text{-}18\mu\text{m}/0,1\text{-}1,0$); Zwischenräume glatt mit verenzelten Quertrunzeln	gleichmäßiger und dichter punktiert ($10\text{-}18\mu\text{m}/0,5\text{-}2,0$), am oberen Augenrand zerstreut; Zwischenräume nur teilweise ganz schwach chagriniert
Thorax (von oben gesehen)	plumper und breiter (Abb. 2a)	plumper und breiter (Abb. 2b)	schlanker und schrägller (Abb. 2c)	schlanker und schmäler (Abb. 2d)	plumper und breiter (Abb. 2e)
Mesonotum	ein wenig größer und zerstreut punktiert ($10\text{-}18\mu\text{m}/1,5\text{-}3,0$); Zwischenräume sehr glatt und glänzend	feiner und dichter punktiert als <i>tarsatum</i> ($8\text{-}12\mu\text{m}/0,5\text{-}2,0$); in der vorderen Hälfte die Zwischenräume deutlich chagriniert	etwas größer punktiert als <i>senilucens</i> (bei Exemplaren mit kürzerem Gesicht) ($8\text{-}12\mu\text{m}/1,0\text{-}4,0$); vorne dicht querchagriniert; hinten mit kaum erkennbaren Wellen; Zwischenräume stark glänzend	fein, mäßig dicht punktiert, hinten etwas zerstreut ($10\text{-}12\mu\text{m}/0,5\text{-}2,0$), weithin fein chagriniert; Zwischenräume matt glänzend	gleichmäßiger punktiert, ($10\text{-}15\mu\text{m}/0,5\text{-}2,0$) auch hinten sehr fein chagriniert; Zwischenräume matter schimmernd

Weibchen	<i>tarsatum</i> (SCHENCK, 1868)	<i>semilucens</i> (ALFKEN, 1914)	<i>lucidulum</i> (SCHENCK, 1861)	<i>minutissimum</i> (KIRBY, 1802)	<i>intermedium</i> (SCHENCK, 1868)
Mesopleuren	nach unten zu viel feiner, oberflächlicher und zerstreuter punktiert ($5\text{-}8\mu\text{m}/0.4\text{-}4.0$), dazwischen vereinzelt größere Punkte; Zwischenräume glänzend; unten hinten stark glänzend	Punktierung kaum erkennbar; Zwischenräume größtenteils matt und chagriniert; nach unten dichter punktiert ($5\text{-}8\mu\text{m}/0.1\text{-}0.5$), Punkte z. T. runzelartig von unten her eingestochen; Zwischenräume matt bis seidig matt	fein punktiert, aber durchschnittlich kräftigere Punkte als <i>semilucens</i> ($8\text{-}15\mu\text{m}/0.1\text{-}1.0$); hinten, vorne und nach unten viel zerstreuter punktiert (bis über 5.0); hier Zwischenräume glatt und glänzend	Punktierung kaum erkennbar (Punkte in der dichten Granulierung kaum messbar); Zwischenräume matt, insgesamt bis unten matt	Punktierung kaum erkennbar (Punkte in der starken Granulierung kaum messbar), fein und dicht bis unten punktiert; insgesamt matt
Propodeum	durchschnittlich kürzer (Sc:Psc:Pr = 0.34:0.14:0.14); Mittelfelddrunzeln erreichen nicht das Ende der horizontalen Propodeumfläche; am Übergang zum Stutzmauter (Abb. 3b) am Ende auf der Rundung glänzend ; Stutz nur mit einzelnen langen abstehenden Haaren (Abb. 3a)	meist etwas länger als Postscutellum (Sc:Psc:Pr = 0.28:0.16:0.31); Mittelfelddrunzeln erreichen mitten das Ende der horizontalen Propodeumfläche; am Übergang zum Stutzmauter (Abb. 3b)	länger als Scutellum (Sc:Psc:Pr = 0.31:0.17:0.37); Mittelfelddrunzeln bedecken nur die vordere Hälfte der horizontalen Propodeumfläche, hinten nur chagriniert; die verworrenen Mittelfelddrunzeln mitten ca. 1/3 bis 1/4 der Länge freilassend, hier Seitenfelder und Stutz rauher skulpturiert, seidig matt; Stutz nur mit wenigen abstehenden Haaren (Abb. 3c)	so lang wie das Scutellum (Sc:Psc:Pr = 0.41:0.22:0.41); horizontale Propodeumfläche nicht bis zum Stutzgerunzelt ; die mitten verworrenen Mittelfelddrunzeln nur 2/3 der horizontalen Propodeumfläche erreichend, Endfläche ca. 1/3 ungleichmäßig chagriniert, seidig glänzend ⁴ (Abb. 3e)	so lang wie das Scutellum (Sc:Psc:Pr = 0.41:0.22:0.41); horizontale Propodeumfläche nicht bis zum Stutzgerunzelt ; die mitten verworrenen Mittelfelddrunzeln nur 2/3 der horizontalen Propodeumfläche erreichend, Endfläche ca. 1/3 ungleichmäßig chagriniert, seidig glänzend ⁴ (Abb. 3e)
Tergit 1	T1 nahezu punktlos (Abb. 4a)	T1 nahezu punktlos (Abb. 4b)	T1 nahezu punktlos (Abb. 4c)	T1 nahezu punktlos (Abb. 4d)	T1 nahezu fein, deutlich, dicht punktiert ; T1 mitten auf der Scheibe mit nur einzelnen Punkten ($5\mu\text{m}/1.0\text{-}3.0$); Flächen glatt (Abb. 4d)

583

Weibchen	<i>tarsatum</i> (SCHEINCK, 1868)	<i>semilucens</i> (ALFKEN, 1914)	<i>lucidulum</i> (SCHEINCK, 1861)	<i>minutissimum</i> (KIRBY, 1802)	<i>intermedium</i> (SCHEINCK, 1868)
Tergit 2	T2 und T3 mit basalen Haarflecken	T2 und T3 an der Basis mit kleinen weißen Haarflecken	an der Basis nicht oder kaum eingeschnürt; auf T2 und T3 nur einzelne Punkte (um 5 µm); Endteile glatt	an der Basis querüber konkav eingedrückt (bei eingezogenen Tergiten nicht sichtbar); Scheibe 8-10 µm/1,0-5,0 punktiert, mitten glatt	T2 und T3 an der Basis mit wenigen feinen Punkten (um 8 µm); T2 und T3 mit weißen basalen Haarflecken; Flächen glatt
Körpergröße	5,5 mm	5-5,5 mm	4,5-5 mm	4,5-5 mm	6 mm

Männchen	<i>tarsatum</i> (SCHEINCK, 1868)	<i>semilucens</i> (ALFKEN, 1914)	<i>lucidulum</i> (SCHEINCK, 1861)	<i>minutissimum</i> (KIRBY, 1802)	<i>intermedium</i> (SCHEINCK, 1868)
Gesicht (von vorne)	kurz, leicht queroval (1:b=1,31:1,34) (Abb. 5a)	geringfügig länger als breit; eine Spur länger als bei <i>tarsatum</i> wirkend (1:b=1,19:1,18) (Abb. 5b)	auffällig variabel von etwa kreisrund (1:b=1,16:1,16) bis eiförmig (1:b=1,37:1,35) mit deutlich vorragendem Clypeus (Abb. 5d)	schwach länglich, eiförmig (1:b=1,16:1,13), nach unten wenig verschmälert; tief runzelig, dicht punktiert (Abb. 5e)	etwas länger wirkend, weil nach unten zu geradliniger verschmälert (1:b=1,37:1,35)
					(Abb. 5e)
Stirn	wenig zerstreuter Punktierung (8-10 µm/0,1-0,3)	runzelig dicht punktiert (10-15 µm/0,1)	fein, unregelmäßig dicht punktiert (5-10 µm/0,1-1,0); die schmalen Zwischenräume glatt	sehr dicht punktiert (10-20 µm/0,1); die schmalen Zwischenräume glatt	fein, sehr dicht punktiert (10-15 µm/0,1-0,3); matt, die schmalen Zwischenräume dicht chagriniert
Scheitel ¹	deutlich zerstreuter Punktierung (10-12 µm/0,1-0,2)	oben seitlich mäßig dicht punktiert (10-12 µm/0,1-0,2)	mäßig dicht punktiert	in den Abständen unregelmäßig punktiert	dicht punktiert (10-15 µm/0,1-0,5);

584

Männchen	<i>tarsatum</i> (SCHEINCK, 1868)	<i>semilucens</i> (ALFKEN, 1914)	<i>lucidulum</i> (SCHEINCK, 1861)	<i>minutissimum</i> (KIRBY, 1802)	<i>intermedium</i> (SCHEINCK, 1868)
	(8-10µm/1,5-4,0); Zwischenräume glatt und glänzend	1,0; Zwischenräume vorne glänzend, gegen den Scheiteliniertrand dichter punktiert und chagriniert	(10-15µm/0,1-1,0), dazwischen nur wenige Runzeln, weithin glatt	(8-15µm/0,5-2,0); oben runzlig dicht, vorne glatt und glänzend	Zwischenräume oben quergerieft
Schäfen und Kopfunterseite	mit lockerer Riefung, dazwischen glänzend	hinter dem Augenrand auf glattem Grund winzige Punkte, unterseits längs-chagriniert und seidig glänzend	winzige Punkte (um 8µm), fein, die ganze Fläche längsrissig gerieft	Wie <i>lucidulum</i>	Wie <i>lucidulum</i>
Mandibeln, Labrum und Clypeus	Mandibeln, Labrum und Clypeus ausgedehnt gelb	Mandibel in der Mitte, Labrum und Clypeus am Ende zumindest mit kleinem gelbem Fleck	Mandibel in der Mitte, Labrum und Clypeus am Ende gelb	Mandibel in der Mitte, Labrum und Clypeus am Ende gelb	Mandibeln, Labrum und Clypeus schwarz (höchstens am Ende mit trübgelbem Fleck)
Mesonotum	10-15µm/1,0-5,0 punktiert; Zwischenräume völlig glatt und stark glänzend (Abb. 6a)	fein punktiert (10-12µm, vereinzelt bis 15µm/0,5-3,0); Chagriniierung variabel, vordere Hälfte chagriniert, hinten teilweise glatt (Abb. 6b)	im Verhältnis zur geringen Größe kräftig punktiert (8-18µm/2,0-4,0); Zwischenräume glatt und stark glänzend (Abb. 6c)	feiner, zerstreuter punktiert (8-12µm/1,0-4,0; z.T. noch zerstreut); Zwischenräume vorne leicht chagriniert, stark glänzend (Abb. 6d)	fein punktiert (8-12µm/1,0-5,0); Zwischenräume glatt (Abb. 6e)
Mesopleuren	unten glatt und stark glänzend; oben deutlich eingestochen, fein und zerstreut punktiert (5-10µm/1,0-4,0); Zwischenräume völlig glatt und stark glänzend	undeutlich punktiert; oberflächlicher als beim Weibchen eingestochen, punktiert (10-15µm/0,5-2,0); Zwischenräume glatt, insgesamt seidig glänzend wirkend	dicht punktiert; Zwischenräume glatt, insgesamt glänzend	oben mit deutlichen Punkten (5-10µm/0,1-2,0; z.T. einzelne größere Punkte); Zwischenräume glatt, glänzend	undeutlich punktiert (sehr fein 8µm bis große, aber ganz flache Punkte); Zwischenräume matt glänzend

585

Männchen	<i>tarsatum</i> (SCHEENCK, 1868)	<i>semilucens</i> (ALFKEN, 1914)	<i>lucidulum</i> (SCHEENCK, 1861)	<i>minutissimum</i> (KIRBY, 1802)	<i>intermedium</i> (SCHEENCK, 1868)
Beine	Tarsen und Tibien mehr oder weniger ausgedehnt gelb/rotbraun	Tarsen gelb bis schwarzbraun	alle Tarsen gelb	alle Tarsen gelb bis rotbraun	Beine schwarz (nur Knie rötlich schimmernd) bis rotbraun
Propodeum	Sc:Psc:Pr = 0,34:0,16:0,31 (0,25); Mittelfeldrunzeln mitten bis 3/4 der horizontalen Fläche einnehmend, seitlich fein und dicht gerunzelt, seitlich kaum gewellt, stark glänzend (Abb. 7a)	Sc:Psc:Pr = 0,25:0,12:0,31 (0,25); Mittelfeldrunzeln mitten bis 3/4 der horizontalen Fläche einnehmend, seitlich fein und dicht gerunzelt, seitlich matt (Abb. 7b)	Sc:Psc:Pr = 0,24:0,14:0,33 (0,20); Mittelfeldrunzeln ca. 2/3 der horizontalen Fläche einnehmend, hinten und seitlich fein wellig chagrinert, glänzend (Abb. 7d)	Sc:Psc:Pr = 0,27:0,16:0,29 (0,20); Mittelfeldrunzeln 2/3 der horizontalen Fläche einnehmend, hinten und seitlich fein wellig chagrinert, glänzend (Abb. 7e)	Sc:Psc:Pr = 0,31:0,16:0,29 (0,22); Mittelfeldrunzeln mitten knapp 2/3 der Fläche einnehmend, seitlich nur die Hälfte der Fläche erreichen, hinten und seitlich fein wellig chagrinert, glänzend; Stutz mit kurzer, anliegender weißer Behaarung (Abb. 7e)
Tergitenden	Tergit 2 an der Basis nur schwach eingedrückt, Endteile nur hinter den Beulen abgesetzt; Endteile auf glatten Grund mit sehr zerstreuten feinen Punktchen (Abb. 8a)	Tergitenden mittelstark von den Scheiben abgesetzt; punktlos und glatt (Abb. 8b)	Tergitenden deutlich von den Scheiben abgesetzt; punktlos und glatt (Abb. 8c)	Tergit 2 und 3 an der Basis tief eingedrückt; T1 Endteil wie bei Weibchen fein, deutlich, mäßig dicht punktiert (8-10 µm/1,0-2,0) (Abb. 8d)	Tergitenden deutlich von den Scheiben abgesetzt; weit hin punktlos (Abb. 8e)
Sternite	kaum behaart	abstehend behaart	kaum behaart	stark abstehend behaart	abstehend behaart
Gonostyli	Abb. 9b; Gonocoxit (in Lateralansicht) am Ende konkav eingedrückt; dorsal gesehen flächig, sehr	Abb. 10b; Gonocoxit (in Lateralansicht) am Ende konvav eingedrückt; Gonostyli von oben mit schmaler Kante, lateral	Abb. 12; lateral steil runter; Gonocoxite (in Lateralansicht) steil abfallend	vgl. Abb. 13	vgl. Abb. 14

586

Männchen	<i>tarsatum</i> (SCHEENCK, 1868)	<i>semilucens</i> (ALFKEN, 1914)	<i>lucidulum</i> (SCHEENCK, 1861)	<i>minutissimum</i> (KIRBY, 1802)	<i>intermedium</i> (SCHEENCK, 1868)
klein und dreieckig, lateral gesehen schmal	gesehen flächig ausge- bildet, sehr klein, +/- quadratisch mit abge- rundeten Ecken ⁵				
Körpergröße	5-5,5 mm	4,5-5 mm	4,4-5 mm	4-4,5 mm	5-6 mm
Flugzeit (in Mitteleuropa)	ab Juni	im August	ab Juli	ab Juli	ab Juni

¹ l = Länge, b = Breite, q = Quotient² Messung zwischen Auge und oberen Rand der Ocellen³ Sc=Scutellum, Psc=Postscutellum, Pr=Propodeum

⁴ Hintere senkrechte Propodeumfläche (Stutz nach Blüthgen) bei frischen Exemplaren neben den weniger langen abstehenden Haaren mit ungemein kurzen, anliegenden Haaren, die von der Mitte seitlich nach außen reichen – nur unter schräger Beleuchtung sichtbar. Bei den mitteleuropäischen Arten dieser Gruppe ist diese anliegende "Unterbehaarung" einzigartig und bisher in der Literatur nicht beschrieben. Bei asiatischen Arten dieser Gruppe gibt es von der zarten Unterbehaarung alle Abstufungen bis zu völlig den Stütz bedeckende Behaarung, im Extrem bei *L. sahinnacola* (FRIESE, 1916).

⁵ Die sehr kleinen Gonostyli sind empfindlich bei der Präparation und können verbogen werden, sodass diese Merkmale nicht mehr eindeutig zu erkennen sind.

Beschreibung des Männchens von *Lasioglossum ashabadiense* (BLÜTHGEN, 1923)

H o l o t y p u s : TMN Aschabad, ♀, Coll. Museum Krakau [untersucht]. Publiziert in Archiv Naturgeschichte 89, A, 5: 328-329. Locus typicus: Turkmenistan, Ašchabad [heute Ashgabat].

A l l o t y p u s : TMN, Aschabad, 27.5.1932, ♂, det. Blüthgen 1933 [als Allotypus etikettiert], vid. A.W. Ebmer, coll. Museum für Naturkunde der Humboldt-Universität zu Berlin.

Weitere untersuchte Exemplare: TMN, Umgebung von Sandikatzi [Sandykachi N36°36' E62°32'], 3.-13.5.1993, 1♂, leg. K. Deneš, det. & coll. A.W. Ebmer; TMN, Kopet-Dag, Kizil-Aruat, 50 km S Chajagala, 17.5.1993, 1♂, leg. M. Halada, det. A.W. Ebmer, coll. OLM; KGZ, Chamanli Sai [Shamaldy-Say, heutige Schreibweise und Koordinaten aus Tactical Pilotage Chart-F-6D1:500.000], N41,2 E71,8 [N41°12' E72°11'], 30.5.1995, 1♂, leg. M. Mučka, det. & coll. A.W. Ebmer.

A n m e r k u n g z u m H o l o t y p u s : Das Weibchen ist in den taxonomischen Merkmalen sehr ähnlich zu *L. tarsatum*. Das Gesicht ist jedoch nicht ganz so queroval, Kopf und Thorax sind durchschnittlich feiner punktiert. Die Zwischenräume sind ebenfalls glatt und stark glänzend.

V e r b r e i t u n g : Turkmenistan, Kirgistan, Kasachstan (Blüthgen in POPOV 1935), Usbekistan (BLÜTHGEN 1935), Tadzhikistan (BLÜTHGEN 1935), Afghanistan (EBMER 1974).

B e s c h r e i b u n g d e s ♂ :

Körpergröße: 5 mm.

Farbe: Körper schwarz; Mandibeln mitten, Labrum, Endhälfte des Clypeus, alle Tarsen sowie Tibien schmal an der Basis und am Ende gelb; Fühlergeißel oben hellbraun, unten ockerfarben.

Gesicht: l:b = 1,24:1,29; noch etwas zerstreuter punktiert als bei *L. tarsatum*, Zwischenräume glatt; Stirn 10 µm/0,5-2,0; Scheitel 8-10 µm/3,0-4,0.

Fühler: kurz, Geißelglied 3 l:b = 0,16:0,14.

Thorax: Mesopleuren oben wie Mesonotum, nach unten die Punkte feiner, unten 5-10 µm. Thorax in den Proportionen wie *L. tarsatum*; Runzeln des Mittelfeldes nicht ganz ans Ende des horizontalen Teiles des Propodeums reichend, am Ende und seitlich völlig glatt. Mesonotum auf völlig glattem Grund deutlich und fein eingestochen punktiert, die Punkte zerstreuter als bei *L. tarsatum*, 10-12 µm/2,0-5,0.

Abdomen: Scheiben der Tergite sehr fein und zerstreut punktiert, 5-8 µm/2,0-5,0, dazwischen glatt; Endteile glatt und weithin punktlos, nur Endteil von T1 mit wenigen verstreuten Pünktchen; Sternite spärlich abstehend weiß behaart.

Genital (Abb. 11a, 11b): In den Genitalmerkmalen ist das Männchen eindeutig als eigene Art zu erkennen. Die Gonocoxiten sind lateral gesehen ebenfalls am Ende von oben her konkav eingedrückt wie bei *L. tarsatum* und *L. semilucens*. Die Gonostyli sind in Dorsalansicht deutlich größer (obwohl die Gesamtgröße gleich ist wie bei den beiden vorigen Arten), flach-spatelförmig, etwa doppelt so lang wie die kleinen dreieckigen Gonostyli von *L. tarsatum*, lateral gesehen sehr schmal. Gegenüber den anderen beiden in Mitteleuropa vorkommenden Arten *L. lucidulum* und *L. minutissimum*, sind die Gonocoxiten lateral gesehen caudal steil abfallend (vergleiche dazu Abb. 12: *L. lucidulum* und Abb. 13: *L. minutissimum*).

Abgrenzung zu ähnlichen Arten: Das Männchen ist sehr ähnlich zu *L. semilucens*, unterscheidet sich jedoch von dieser durch ein zerstreuter punktiertes und mitten nicht chagrinierter Mesonotum, durch die auf glänzendem Grund zerstreuter punktierten Mesopleuren

und durch den schlanken, langen Gonostylus. Einen ähnlichen, jedoch noch größeren Gonostylus besitzt *L. eurydikae* EBMER, 1974 (Genital lateral und dorsal Abb. 73, 74 sowie Foto von Gesicht und Propodeum Abb. 71, 72 in EBMER 2000). Abgesehen von dem schwarzen Clypeus sind bei *L. eurydikae* entsprechend der anderen Gruppenzugehörigkeit das Mesonotum und die Mesopleuren kräftiger eingestochen punktiert. Ebenso ist das Propodeum anders; Tergit 1 ist nahezu punktlos und die folgenden Tergite sind äußerst oberflächlich punktiert.

Danksagung

Wir danken Dr. Peter Huemer und Mag. Andreas Eckelt von den Tiroler Landesmuseen für die Ausleihe von *L. tarsatum* aus der ehemaligen Ernst-Priesner-Sammlung. Der Neufund von *L. tarsatum* für Wien wurde im Rahmen des Interreg-Projekts "Agrinatur AT-HU" getätigkt – dem kollegialen Projektteam, allen voran Susanne Leputsch, Bernhard Kromp und Katrin Fuchs sei herzlich gedankt.

Zusammenfassung

Lasioglossum (Evylaeus) tarsatum (SCHENCK, 1868) ist eine seltene eurasische Steppenart, welche nur von wenigen Lokalitäten in Österreich bekannt ist. Im Jahr 2020 konnte sie erstmals für das Bundesland Wien nachgewiesen werden. Für die vorliegende Publikation wurden alle bekannten Funde aus Österreich überprüft, um die Verbreitung der Art in Österreich darzustellen. Da die Determination von *L. tarsatum* anhand morphologischer Merkmale schwierig ist, präsentieren wir neue Unterscheidungsmerkmale, um *L. tarsatum* von nahe verwandten Arten aus dem *lucidulum-tarsatum*-Komplex in Mitteleuropa, vor allem von *L. semilucens* (ALFKEN, 1914), zu differenzieren. Weiters wird das Männchen von *L. ashabadiense* beschrieben.

Literatur

- AMIET F., HERRMANN M., MÜLLER A. & R. NEUMEYER (2001): Apidae 3 – *Halictus*, *Lasioglossum*. — Fauna Helvetica **6**, 211 pp.
- BLÜTHGEN P. (1935): *Halictus*, *Nomiooides* und *Sphecodes* [p. 360-367]. – In: Popov V.B.: Beiträge zur Bienenfauna von Tadzhikistan. — Trav. Fil. Tadzhikistan Acad. Sci. USSR **5**: 351-408.
- EBMER A.W. (1971): Die Bienen des Genus *Halictus* LATR. s.l. im Großraum von Linz (Hymenoptera, Apidae) Teil 3. — Naturkundliches Jahrbuch der Stadt Linz **17**: 63-156.
- EBMER A.W. (1988): Kritische Liste der nicht-parasitischen Halictidae Österreichs mit Berücksichtigung aller mitteleuropäischen Arten (Insecta: Hymenoptera: Apoidea: Halictidae). — Linzer biologische Beiträge **20** (2): 527-711.
- EBMER A.W. (1999): Die Datierung von Adolf Schencks "Beschreibung der Nassauischen Bienen, zweiter Nachtrag" (Insecta, Hymenoptera, Apoidea). — Senckenbergiana biologica **78** (1-2): 219-224.
- EBMER A.W. (2000): Asiatische Halictidae – 9. Die Artengruppe des *Lasioglossum pauperatum* (Insecta: Hymenoptera: Apoidea: Halictidae: Halictinae). — Linzer biologische Beiträge **32** (1): 399-453.
- EBMER A.W. (2002): Asiatische Halictidae – 10. Neue Halictidae aus China sowie diagnostische Neubeschreibungen der von FAN & EBMER 1992 beschriebenen *Lasioglossum*-Arten (Insecta: Hymenoptera: Apoidea: Halictidae: Halictinae) — Linzer biologische Beiträge **34** (2): 819-934.

- GUSENLEITNER F., SCHWARZ M. & K. MAZZUCCO (2012): Apidae (Insecta: Hymenoptera). Checkliste der Fauna Österreich, No. 6. — Biosystematics and Ecology **29**: 9-129.
- KOPF T. & F. SCHIESTL (2000): Wildbienen (Hymenoptera, Apoidea) an Hochwasserdämmen des Vorarlberger Rheintales (Austria). — Vorarlberger Naturschau — Forschen und Entdecken **8**: 63-96.
- PAGLIANO G. (1988): Catalogo degli Imenotteri italiani. I. Halictidae. — Boll. Mus. civ. Stor. nat. Venezia **38** (1987): 85-128.
- ROLLER H. (1936): Faunistisch-ökologische Studien an den Lößwänden des Bisamberges. — Zeitschrift zur Morphologie und Ökologie der Tiere **31**: 294-327.
- SAKAGAMI S.F., EBMER A.W., MATSUMURA T. & Y. MAETA (1982): Bionomics of the Halictine bees in northern Japan. II. *Lasioglossum (Evylaeus) sakagamii* (Hymenoptera, Apoidea, Halictidae), with taxonomic notes on allied species. — Kontyû **50**: 198-211.
- SAKAGAMI S.F. & O. TADAUCHI (1995): Taxonomic studies on the Halictine bees of *Lasioglossum (Evylaeus) lucidulum* subgroup in Japan with comparative notes on some Palaearctic species (Hymenoptera, Apoidea). — Esakia **35**: 141-176.
- SAKAGAMI S.F. & A.W. EBMER (1996): *Lasioglossum frigidum* sp. nov., with taxonomic notes on the allied species of *L. (E.) sexstrigatum* group (Hymenoptera, Apoidea, Halictidae). — Linzer biologische Beiträge **28** (2): 899-916.
- SCHENCK A. (1868): Beschreibung der Nassauischen Bienen, zweiter Nachtrag. 113 S. Julius Niedner, Wiesbaden. — (1870) zeitschriftlich: Jahrbuch Ver. Naturk. Nassau **21/22** (1867/8): 269-382.
- SCHEUCHL E. & W. WILLNER (2016): Taschenlexikon der Wildbienen Mitteleuropas: Alle Arten im Porträt. — Verlag Quelle & Meyer, Wiebelsheim, 917 pp.
- SCHWARZ M. & F. GUSENLEITNER (1999): Weitere Angaben zur Bienenfauna Österreichs. Vorstudie zu einer Gesamtverbreitung der Bienen Österreichs II (Hymenoptera, Apidae). — Entomofauna **20 (11)**: 185-256.
- WARNCKE K. (1981): Die Bienen des Klagenfurter Beckens (Hymenoptera, Apidae). — Carinthia II, **171/91**: 275-348.
- WIESBAUER H. & K. MAZZUCCO (1997): Dünen in Niederösterreich – Ökologie und Kulturgeschichte eines bemerkenswerten Landschaftselementes. — Publikationen Naturschutzabteilung Niederösterreich **5**: 1-90.
- WIESBAUER H. & H. ZETTEL (2011): Sanddünen an der March. — Wissenschaftliche Mitteilungen Niederösterreichisches Landesmuseum **22**: 257-278.
- ZETTEL H., OCKERMÜLLER E., WIESBAUER H., EBMER A.W., GUSENLEITNER F., NEUMAYER J. & B. PACHINGER (2015): Kommentierte Liste der aus Wien (Österreich) nachgewiesenen Bienenarten (Hymenoptera: Apidae). — Zeitschrift der Arbeitsgemeinschaft Österreichischer Entomologen **67**: 137-194.

Anschriften der Autoren: Esther OCKERMÜLLER
 Biologiezentrum der OÖ Landes-Kultur GmbH
 Johann-Wilhelm-Klein-Straße 73
 A-4040 Linz, Österreich
 E-Mail: esther.ockermueller@ooelkg.at

P. Andreas W. EBMER
 Kirchenstraße 9
 A-4048 Puchenau, Österreich



Abb. 1a-1e: Kopf von (a) *Lasiglossum tarsatum* ♀, (b) *L. semilucens* ♀, (c) *L. lucidulum* ♀, (d) *L. minutissimum* ♀, (e) *L. intermedium* ♀.



Abb. 2a-2e: Thorax von (a) *Lasioglossum tarsatum* ♀, (b) *L. semilucens* ♀, (c) *L. lucidulum* ♀, (d) *L. minutissimum* ♀, (e) *L. intermedium* ♀.



Abb. 3a-3e: Propodeum von (a) *Lasioglossum tarsatum* ♀, (b) *L. semilucens* ♀, (c) *L. lucidulum* ♀, (d) *L. minutissimum* ♀, (e) *L. intermedium* ♀.



Abb. 4a-4e: Tergit 1 und 2 von (a) *Lasioglossum tarsatum* ♀, (b) *L. semilucens* ♀, (c) *L. lucidulum* ♀, (d) *L. minutissimum* ♀, (e) *L. intermedium* ♀.



Abb. 5a-5e: Kopf von (a) *Lasioglossum tarsatum* ♂, (b) *L. semilucens* ♂, (c) *L. lucidulum* ♂, (d) *L. minutissimum* ♂, (e) *L. intermedium* ♂.

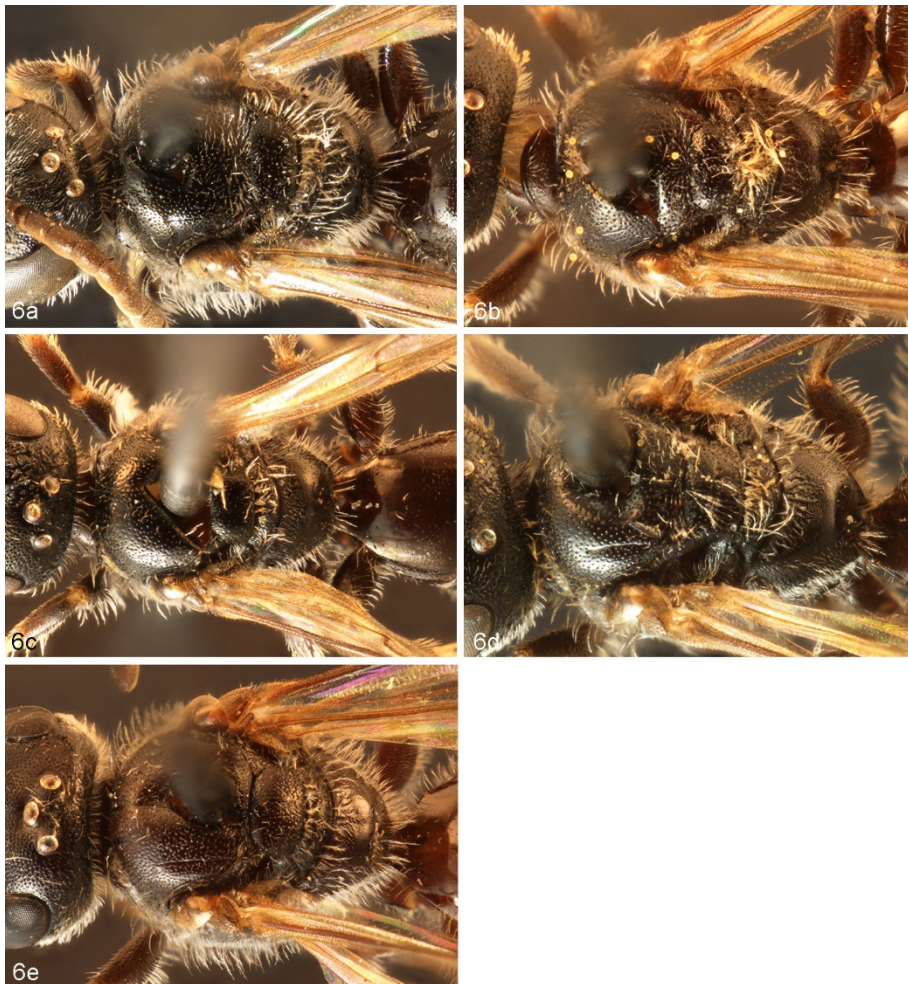


Abb. 6a-6e: Thorax von (a) *Lasioglossum tarsatum* ♂, (b) *L. semilucens* ♂, (c) *L. lucidulum* ♂, (d) *L. minutissimum* ♂, (e) *L. intermedium* ♂.

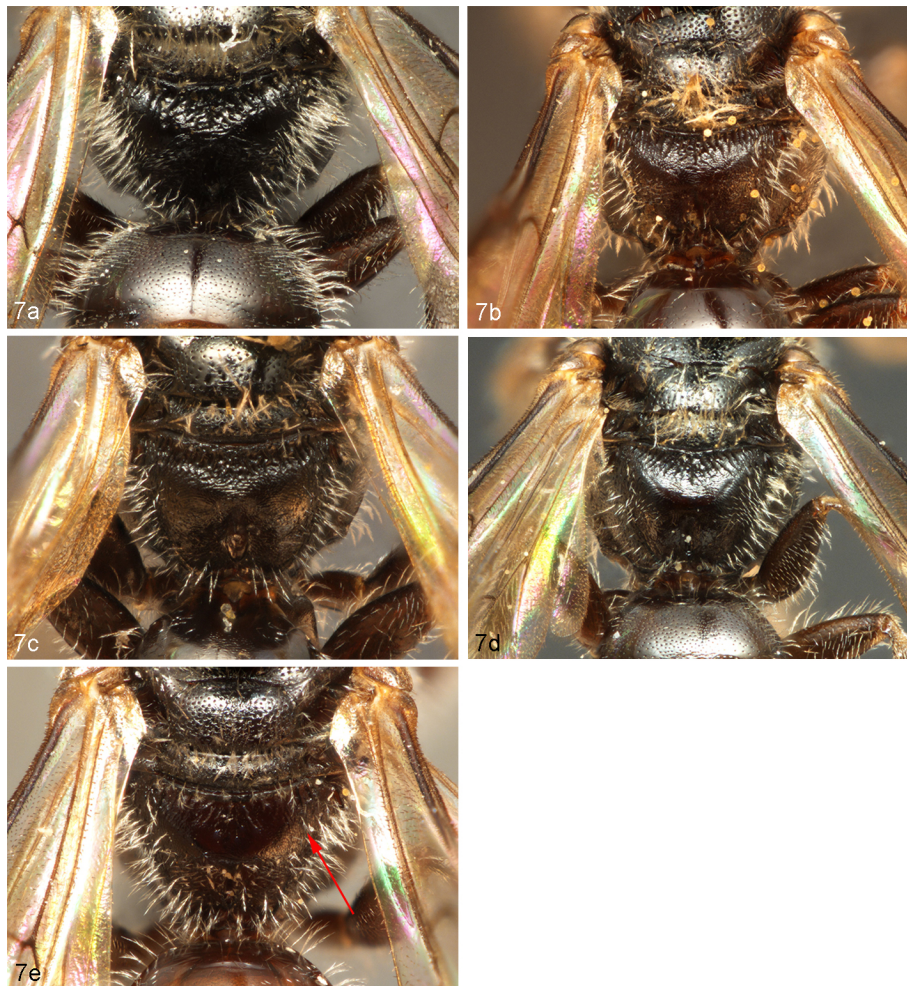


Abb. 7a-7e: Propodeum von (a) *Lasioglossum tarsatum* ♂, (b) *L. semilucens* ♂, (c) *L. lucidulum* ♂, (d) *L. minutissimum* ♂, (e) *L. intermedium* ♂.



Abb. 8a-8e: Tergite 1-3 von (a) *Lasioglossum tarsatum* ♂, (b) *L. semilucens* ♂, (c) *L. lucidulum* ♂, (d) *L. minutissimum* ♂, (e) *L. intermedium* ♂.

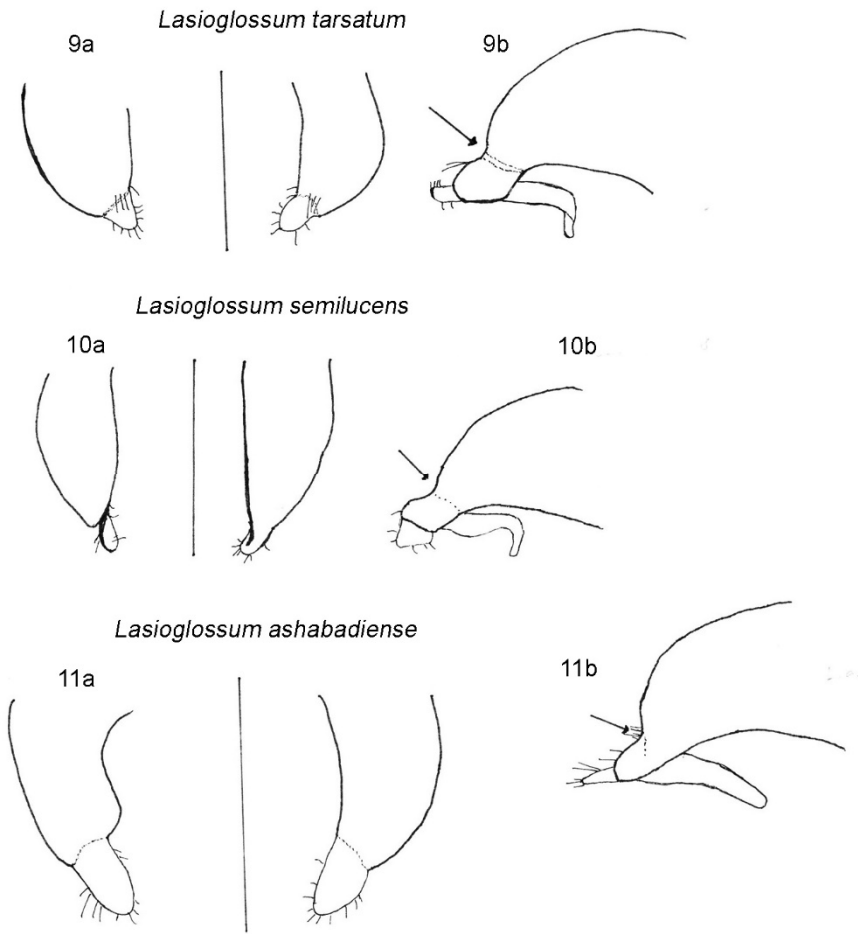


Abb. 9-11: (a) Linker und rechter Gonostylus dorsal, ♂, (b) rechter Gonostylus lateral von außen, ♂
von (9) *Lasioglossum tarsatum*, (10) *L. semilucens* und (11) *L. ashabadiense*.

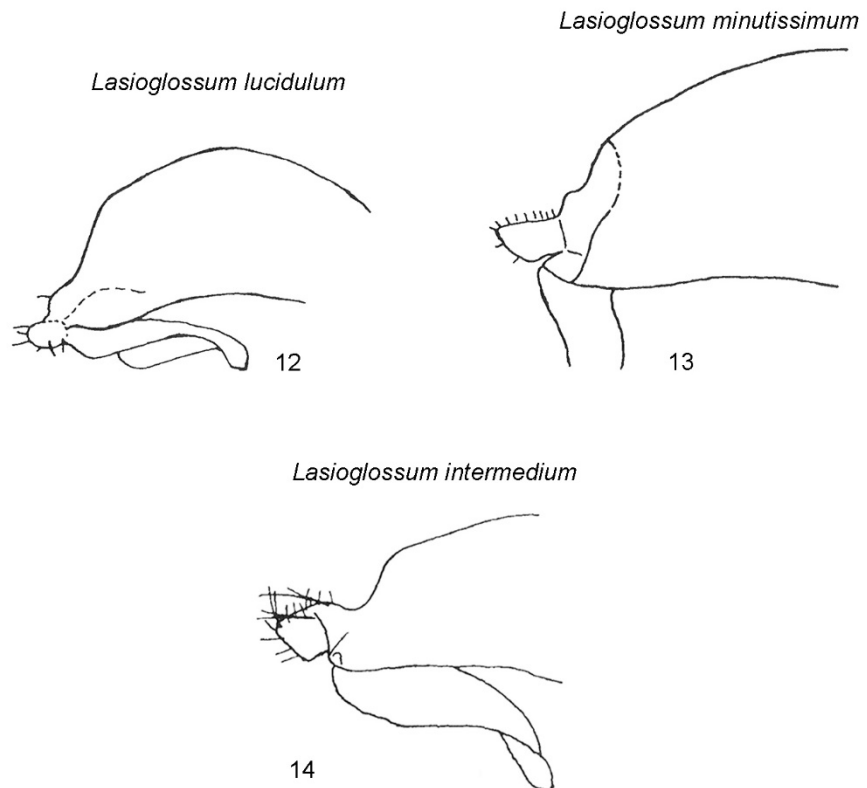


Abb. 12-14: rechter Gonostylus lateral von außen, ♂ von (12) *Lasioglossum lucidulum*, (13) *L. minutissimum* und (14) *L. intermedium* (aus EBMER 1971).

ZOBODAT - www.zobodat.at

Zoologisch-Botanische Datenbank/Zoological-Botanical Database

Digitale Literatur/Digital Literature

Zeitschrift/Journal: [Linzer biologische Beiträge](#)

Jahr/Year: 2023

Band/Volume: [0054_2](#)

Autor(en)/Author(s): Ockermüller Esther, Ebmer Andreas Werner

Artikel/Article: [Zur Verbreitung und Bestimmung von *Lasioglossum tarsatum* \(SCHENCK, 1868\) in Österreich sowie Beschreibung des Männchens von *L. ashabadiense* \(BLÜTHGEN, 1923\) 577-599](#)